

ばね-粘性減衰(K-C) 並列型 D. M. 同調新システムの応答性能に関する基礎的研究

その 1. K-C 並列型 D. M. 同調新システムの制震性能

A basic study on the performance of spring-viscous damping parallel configured new tuned dynamic mass system

Part.1 The performance of K-C parallel configured new tuned dynamic mass system

○梶山瑞生<sup>3</sup>, 秦一平<sup>1</sup>, 阿久戸信宏<sup>2</sup>, 市川達也<sup>2</sup>,  
川口雄暉<sup>2</sup>, 織田悠汰<sup>3</sup>, 加藤亮<sup>3</sup>, 田代直生<sup>3</sup>

\* Mizuki Kajiyama<sup>3</sup>, Ippei Hata<sup>1</sup>, Nobuhiro Akuto<sup>2</sup>, Tatsuya Itikawa  
Yuuki Kawaguchi<sup>2</sup>, Yuuta Oda<sup>3</sup>, Ryou Katou<sup>3</sup>, Naoki Tshiro<sup>3</sup>,

Abstract: In this report, the optimum design formula of the new system is derived, and the seismic control effect is confirmed by a study example using the optimum design.

1-1 はじめに

超高層建築物では、1次モードの固有周期が長いこと、応答変位を低減させるために制震ダンパーを採用している事例が多いが、直下型地震のような短周期成分が卓越する地震動に対しては、2次モードや3次モードの共振が応答に大きく影響する。超高層建築物の制震装置の選択として、例えばオイルダンパー（粘性系）を用いた場合、1次モード又は2次モード以降においても、粘性減衰を与える効果があるが、より大きな粘性減衰を付与させるためには、多くダンパー台数を必要とする。その改善方法として、粘性ダンパーとダイナミック・マス（以降、D.M.）を並列にしたD.M.同調システム<sup>[1][2]</sup>（以降、従来システム）があり、より小さな減衰係数で大きな粘性減衰を付与できる。一方、従来システムでは、例えば1次モードに対する最適設計を行った場合、高次モードの応答倍率は小さくならない課題がある。そのため、別途高次モードを制御するダンパーが必要となる。本研究では、ばね(K)と粘性減衰(C)を並列に配置し、更にD.M.を直列に配置したK-C並列型D.M.同調新システム（以降、新システム）と最適設計式を提案し、試験体の振動試験を行うと共に、設計例を示し、より効率の良い制震構造の確立を目的とする。

1-2 新システムの最適同調式・最適減衰式

Figure 1-1 に示す新システムの最適設計式である「最適同調式」と「最適減衰式」を導出する。まず、固有周期 $T_\infty$ は減衰係数 $c_d = \infty$ の状態とすれば、 $T_\infty = 2\pi\sqrt{(m + m_d)/k}$ となる。なお、質量比 $\gamma_m = m_d/m$ とし、非制震時の固有周期 $T_0$ は $T_0 = 2\pi\sqrt{m/k}$ であるため、上記の $T_\infty$ との関係を整理すると、質量比 $\gamma_m$ は(1)式のような周期の関係式となる。

$$\gamma_m = \left(\frac{T_\infty}{T_0}\right)^2 - 1 \tag{1}$$

新システムの動的な釣合式は(2),(3)式ようになる。

$$(m + m_d)\ddot{x} - m_d\ddot{x}_d + kx = -m\ddot{y} \tag{2}$$

$$-m_d\ddot{x} + m_d\ddot{x}_d + c_d\dot{x}_d + k_d x_d = 0 \tag{3}$$

ここで、剛性比 $\gamma_k = k_d/k$ とし、(2),(3)式において定常振動 $x = Xe^{i\omega t}$ ,  $x_d = X_d e^{i\omega t}$ ,  $\ddot{y} = -\omega^2 Y e^{i(\omega t + \phi)}$ とおくと、相対変位応答倍率曲線における $c_d = 0$ と $c_d = \infty$ の応答倍率の交点（定点）の方程式<sup>[1]</sup>は(4)式のように求められる。ここで、 $\lambda = \omega/\omega_0$ ,  $\omega_0$ は非制震時の固有振動数である。

$$(\gamma_m + 2)\lambda^4 - 2\left(1 + \gamma_k + \frac{\gamma_k}{\gamma_m}\right)\lambda^2 + 2\frac{\gamma_k}{\gamma_m} = 0 \tag{4}$$

(4)式の解を $\lambda_0^2$ ,  $\lambda_0^2$ とおくと、定点理論に基づいた定点P,Qの応答倍率が等しくなる条件は(5)式となる。

$$\gamma_m + 1 = \gamma_m/\gamma_k \tag{5}$$

また、 $c_d = 0$ としたときの特性方程式の解を $\lambda_{0,1}^2$ ,  $\lambda_{0,DM}^2$ とおくと、(6)式の関係が表せる。

$$\lambda_{0,1}^2 \cdot \lambda_{0,DM}^2 = \gamma_k/\gamma_m \tag{6}$$

(1), (5)式を(6)式に代入すると(7)式の最適同調式が得られる。 $T_{0,1}$ ,  $T_{0,DM}$ は1次モード(主系), D.M.モード(副系)の周期であり、D.M.モードは新システムによる振動モードである。

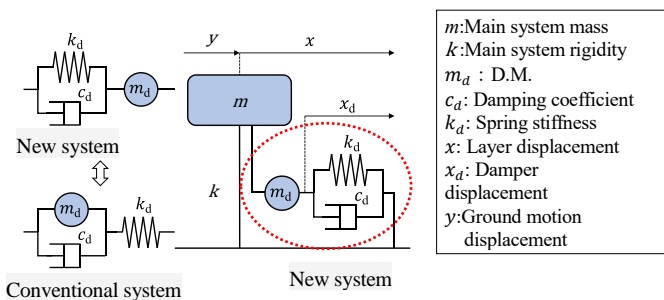


Figure 1-1. New system 1 point system analysis model

$$T_{\infty} = \frac{T_{0.1} \cdot T_{0,DM}}{T_0} \quad (7)$$

また、定点理論に基づいた定点 P,Q の応答倍率は  $\sqrt{2/[\gamma_m(\gamma_m + 1)]}$  と表せるため、共振時の応答倍率<sup>[1]</sup>を  $1/(2h_{opt})$  とおけば、(8)式の最適減衰式が得られる。ここで、 $h_{opt}$  は最適粘性減衰定数である。

$$h_{opt} = 0.5 \sqrt{\frac{\gamma_m(\gamma_m + 1)}{2}} \quad (8)$$

### 1-3 8層せん断モデルの検討

本検討では、その2の振動試験で扱う8層せん断モデルを用いて、新システムの効果を検証する。

解析モデルは超高層建築物を想定し、1次モードの固有周期は3秒程度としている。Figure 1-2に解析モデル、Table 1-1に非制震時の諸元および固有値結果を示す。なお、本検討では従来システムおよび新システムを1層目のみに配置し、目標の最適粘性減衰定数を  $h=0.10$  となるように、それぞれ最適設計を行う。

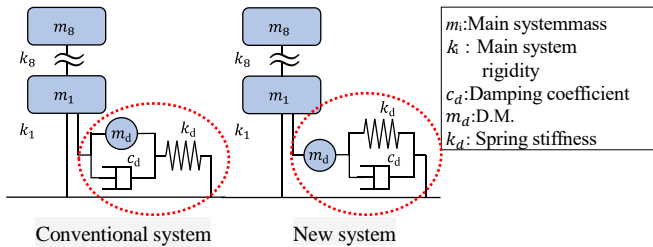


Figure 1-2. Analysis model

Table 1-1. 8-layer shear model parameters

FL	m(ton)	k(KN/m)	FL	m(ton)	k(KN/m)	mode	T(s)
1	1.1	84.2	5	1.0	134.7	1	2.914
2	1.0	96.7	6	1.0	145.1	2	1.059
3	1.0	111.8	7	1.0	154.1	3	0.654
4	1.0	119.7	8	1.0	166.7	4	0.482

ここで、従来システムの諸元は、D.M. 同調システムの簡易設計法<sup>[1][2]</sup>で算出できる。なお、新システムの設計方法である最適設計の手順の一例を下記の①～④に示す。

- ① 目標の最適粘性減衰定数が  $h=0.10$  となるように(8)式の最適減衰式より目標の質量比  $\gamma_m$  を求める。(1)式の質量比  $\gamma_m$  により  $T_{\infty}$  が計算できる。
- ② 複素固有値解析により、 $c_d = \infty$  の状態で、 $T_{\infty}$  を満足するように、 $m_d$  を決定する。
- ③ 複素固有値解析により、 $c_d = 0$  の状態で、(7)式の最適同調式を満足するように、 $k_d$  を決定する。
- ④ 複素固有値解析により、主系のモードの減衰定数が  $h=0.10$  となるように、 $c_d$  の値を決定する。

両システムの目標値および最適設計諸元を Table 1-2 に、複素固有値解析結果を Table 1-3 に示す。新システムは従来システムよりも、高次モードに減衰定数が付与されることが確認できる。これにより、新システムを用いた多質点系では、モード同調した1次モードだけでなく、高次モードにも粘性減衰の付与が可能となる。

Table 1-2. Target Value and optimum design parameters

Model	Target h	Target $\kappa_k$ Or $\gamma_m$	$T_0$ (s)	$T_{\infty}$ (s)	$m_d$ (ton)	$c_d$ (kN·s/m)	$k_d$ (kN/m)
Conventional	0.10	0.083 ( $\kappa_k$ )	2.91	2.80	13.8	12.8	124.0
New	0.10	0.074 ( $\gamma_m$ )	2.91	3.02	10.9	12.9	62.4

※ $\kappa_k$ は付加剛比<sup>[1][2]</sup>であり、 $\kappa_k = (T_0/T_{\infty})^2 - 1$ である。

Table 1-3. Complex eigenvalue analysis(No internal attenuation)

Conventional system			New system		
mode	T(s)	h	mode	T(s)	h
1(main)	3.099	0.100	D.M. (secondary)	3.206	0.065
D.M.(secondary)	2.529	0.100	1(main)	2.689	0.100
2	1.010	0.001	2	1.022	0.030
3	0.628	0.000	3	0.629	0.037
4	0.465	0.000	4	0.459	0.041

### 1-4 応答性能の比較

Figure 1-3に各解析モデルの共振曲線を示す。内部減衰はレーリー型減衰  $h_1=h_2=0.02$  とした。新システムの最適同調・減衰が確認される。なお、非制震時の応答倍率に対して、両システムは1次モードで約80%低減されている。一方、従来システムは2次と3次モードで低減できていないのに対して、新システムでは約50%低減されている。

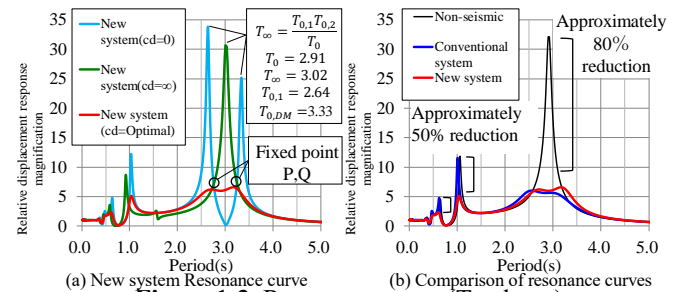


Figure 1-3. Resonance curve (Top layer)

### 1-5 まとめ

本報では、新システムの設定方法の「最適同調式」および「最適減衰式」を理論的に導出した。固有周期の関係式で表すことで、多質点系にも応用できることが確認できる。なお、新システムを用いた検討例では、複素固有値解析および共振曲線により、モード同調した1次モードだけでなく高次モードにも同時に粘性減衰が付与され、応答低減効果があることが確認できる。

### 1-6 参考文献

- [1]石丸辰治, 三上淳治, 秦一平, 古橋剛「D.M. 同調システムの簡易設計法」, 日本建築学会構造系論文集, 第75巻, 第652号, 2010.6
- [2]石丸辰治, 三上淳治, 公塚正行「付加剛比によるD.M. 同調システムの簡易設計法」, 日本建築学会構造系論文集, 第75巻, 第654号, 2010.8